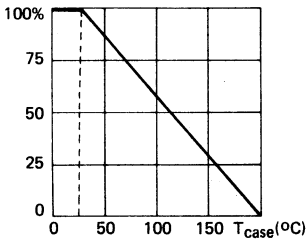


LF large signal amplification  
*Amplification BF grands signaux*

High current switching  
*Commutation fort courant*

Power dissipation derating  
*Variation de dissipation de puissance*



$V_{CEO}$	{ 60 V	2N 1208
	{ 45 V	2N 1209
$I_C$	5 A	
$P_{tot} (25^{\circ}C)$	85 W	
$R_{th(j-c)}$	2,05 $^{\circ}C/W$ max	
$h_{21E}(2A)$	{ 15 min	2N 1208
	{ 20 min	2N 1209

Case TO 61 (CB 69)  
Boitier



ABSOLUTE RATINGS (LIMITING VALUES)  
VALEURS LIMITES ABSOLUES D'UTILISATION

		2N 1208	2N 1209	
Collector-base voltage <i>Tension collecteur-base</i>	$V_{CBO}$	60	45	V
Collector-emitter voltage <i>Tension collecteur-émetteur</i>	$V_{CEO}$	60	45	V
Emitter-base voltage <i>Tension émetteur-base</i>	$V_{EBO}$	10	5	V
Collector current <i>Courant collecteur</i>	$I_C$	5	5	A
Power dissipation <i>Dissipation de puissance</i> $T_{case} 25^{\circ}C$	$P_{tot}$	85	85	W
Storage and junction temperature <i>Température de jonction et de stockage</i>	$t_j$ $T_{stg}$	200 - 65 + 200	200 - 65 + 200	$^{\circ}C$

Junction-case thermal resistance <i>Résistance thermique jonction boitier</i> max	$R_{th(j-c)}$	2,05	2,05	$^{\circ}C/W$
--	---------------	------	------	---------------

## STATIC CHARACTERISTICS

 $T_{case} 25\text{ }^{\circ}\text{C}$ 

(Unless otherwise stated)

## CARACTÉRISTIQUES STATIQUES

(Sauf indications contraires)

	Test conditions Conditions de mesure		min	typ	max		
Collector-base cut-off current Courant résiduel collecteur-base	$V_{CB} = 60\text{ V}$ $I_E = 0$	$I_{CBO}$	2N 1208			10	mA
	$V_{CB} = 60\text{ V}$ $I_E = 0$ $T_{case} = 150\text{ }^{\circ}\text{C}$					20	
	$V_{CB} = 45\text{ V}$ $I_E = 0$		2N 1209			20	
	$V_{CB} = 45\text{ V}$ $I_E = 0$ $T_{case} = 150\text{ }^{\circ}\text{C}$					20	
Emitter-base cut-off current Courant résiduel émetteur-base	$V_{EB} = 5\text{ V}$ $I_C = 0$	$I_{EBO}$	2N 1209			10	mA
	$V_{EB} = 10\text{ V}$ $I_C = 0$		2N 1208			10	
Collector-emitter breakdown voltage Tension de claquage collecteur-émetteur	$I_C = 100\text{ mA}$ $I_B = 0$	$V_{(BR)CEO}^*$	2N 1208 2N 1209	60 45			V
Collector-base breakdown voltage Tension de claquage collecteur-base	$I_C = 10\text{ mA}$ $I_E = 0$	$V_{(BR)CBO}^*$	2N 1208 2N 1209	60 45			V
Emitter-base breakdown voltage Tension de claquage émetteur-base	$I_E = 10\text{ mA}$ $I_C = 0$	$V_{(BR)EBO}^*$	2N 1208 2N 1209	10 5			V
Static forward current transfer ratio Valeur statique du rapport de transfert direct du courant	$V_{CE} = 12\text{ V}$ $I_C = 2\text{ A}$	h <sub>21E</sub>	2N 1208 2N 1209	15 20		30 30	
Collector-emitter saturation voltage Tension de saturation collecteur-émetteur	$I_C = 2\text{ A}$ $I_B = 0,25\text{ A}$	$V_{CEsat}$	All types Tous types			2	V
Base-emitter voltage Tension base-émetteur	$V_{CE} = 12\text{ V}$ $I_C = 2\text{ A}$	$V_{BE}$	All types Tous types			3	V

## DYNAMIC CHARACTERISTICS ( for small signals )

## CARACTÉRISTIQUES DYNAMIQUES ( pour petits signaux )

Transition frequency Fréquence de transition	$V_{CE} = 30\text{ V}$ $I_C = 0,3\text{ A}$ $f = 1\text{ MHz}$	$f_T$	All types Tous types	3			MHz
---	--	-------	-------------------------	---	--	--	-----

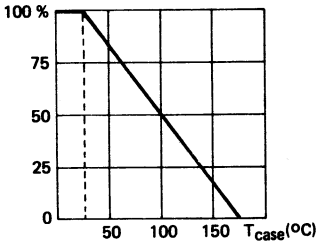
\* Pulsed

Impulsions  $t_p = 300\text{ }\mu\text{s}$   $\delta < 2\%$

**LF large signal amplification**  
*Amplification BF grands signaux*

**High current switching**  
*Commutation fort courant*

**Power dissipation derating**  
*Variation de dissipation de puissance*



**V<sub>CEO</sub>**      $\left\{ \begin{array}{ll} 60 \text{ V} & 2\text{N } 1616 \\ 70 \text{ V} & 2\text{N } 1617 \\ 80 \text{ V} & 2\text{N } 1618 \end{array} \right.$

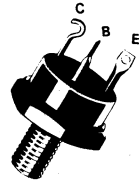
**I<sub>C</sub>**            5 A

**P<sub>tot</sub>**           85 W

**R<sub>th(j-c)</sub>**      1,75 °C/W max

**h<sub>21E</sub> (2 A)**   15 - 75

**Case**            TO 61 (CB69)  
**Boitier**



**ABSOLUTE RATINGS (LIMITING VALUES)**  
**VALEURS LIMITES ABSOLUES D'UTILISATION**

		2N 1616	2N 1617	2N1618	
Collector-base voltage <i>Tension collecteur-base</i>	V <sub>CBO</sub>	60	80	100	V
Collector-emitter voltage <i>Tension collecteur-émetteur</i>	V <sub>CEO</sub>	60	70	80	V
Emitter-base voltage <i>Tension émetteur-base</i>	V <sub>EBO</sub>	8	8	8	V
Collector current <i>Courant collecteur</i>	I <sub>C</sub>	5	5	5	A
Power dissipation <i>Dissipation de puissance</i> T <sub>case</sub> 25 °C	P <sub>tot</sub>	85	85	85	W
Storage and junction temperature <i>Température de jonction et de stockage</i>	t <sub>j</sub> T <sub>stg</sub>	175 - 65 + 175	175 - 65 + 175	175 - 65 + 175	°C

Junction-case thermal resistance <i>Résistance thermique jonction boîtier</i> max	R <sub>th(j-c)</sub>	1,75	1,75	1,75	°C/W
--	----------------------	------	------	------	------

**STATIC CHARACTERISTICS**

**CARACTERISTIQUES STATIQUES**

**T<sub>case</sub> 25 °C**

(Unless otherwise stated)  
(Sauf indications contraires)

		Test conditions <i>Conditions de mesure</i>	min	typ	max		
Collector-base cut-off current <i>Courant résiduel collecteur-base</i>	ICBO	V <sub>CB</sub> = 60 V I <sub>E</sub> = 0 T <sub>case</sub> = 150 °C	2N 1616			10	mA
		V <sub>CB</sub> = 80 V I <sub>E</sub> = 0 T <sub>case</sub> = 150 °C	2N 1617			10	
		V <sub>CB</sub> = 100 V I <sub>E</sub> = 0 T <sub>case</sub> = 150 °C	2N 1618			10	
Collector-emitter cut-off current <i>Courant résiduel collecteur-émetteur</i>	ICEX	V <sub>CE</sub> = 60 V V <sub>BE</sub> = -1 V	2N 1616			1	mA
		V <sub>CE</sub> = 80 V V <sub>BE</sub> = -1 V	2N 1617			1	
		V <sub>CE</sub> = 100 V V <sub>BE</sub> = -1 V	2N 1618			1	
Emitter-base cut-off current <i>Courant résiduel émetteur-base</i>	IEBO	V <sub>EB</sub> = 8 V I <sub>C</sub> = 0	All types <i>Tous types</i>			1	mA
Collector-emitter breakdown voltage <i>Tension de claquage collecteur-émetteur</i>	V <sub>(BR)CEO</sub> *	I <sub>C</sub> = 100 mA I <sub>B</sub> = 0	2N 1616 2N 1617 2N 1618	60 70 80			V
Emitter-base breakdown voltage <i>Tension de claquage émetteur-base</i>	V <sub>(BR)EBO</sub> *	I <sub>B</sub> = 1 mA I <sub>C</sub> = 0	All types <i>Tous types</i>	8			V
Collector-base breakdown voltage <i>Tension de claquage collecteur-base</i>	V <sub>(BR)CBO</sub> *	I <sub>C</sub> = 1 mA I <sub>E</sub> = 0	2N 1616 2N 1617 2N 1618	60 80 100			V
Static forward current transfer ratio <i>Valeur statique du rapport de transfert direct du courant</i>	h <sub>21E</sub>	V <sub>CE</sub> = 12 V I <sub>C</sub> = 2 A	All types <i>Tous types</i>	15		75	
		V <sub>CE</sub> = 12 V I <sub>C</sub> = 2 A T <sub>amb</sub> = -55 °C		7			
Collector-emitter saturation voltage <i>Tension de saturation collecteur-émetteur</i>	V <sub>CEsat</sub>	I <sub>C</sub> = 2 A I <sub>B</sub> = 0,25 A	All types <i>Tous types</i>			2	V
Base-emitter voltage <i>Tension base-émetteur</i>	V <sub>BE</sub>	V <sub>CE</sub> = 12 V I <sub>C</sub> = 2 A	All types <i>Tous types</i>			3	V

\* Pulsed  
*Impulsions*    t<sub>p</sub> = 300 μs    δ ≤ 2%

## DYNAMIC CHARACTERISTICS ( for small signals )

 $T_{case} 25\text{ }^{\circ}\text{C}$ 

(Unless otherwise stated)

## CARACTÉRISTIQUES DYNAMIQUES ( pour petits signaux )

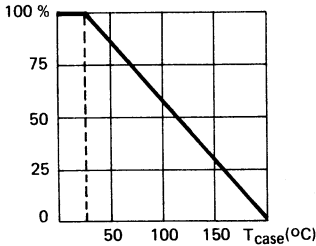
(Sauf indications contraires)

	Test conditions <i>Conditions de mesure</i>			min	typ	max	
	Transition frequency <i>Fréquence de transition</i>	VCE = 30 V IC = 0,3 A f = 1 MHz	f <sub>T</sub>	All types <i>Tous types</i>	3		

LF large signal amplification  
*Amplification BF grands signaux*

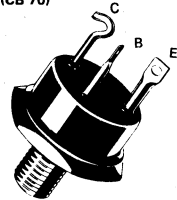
High current switching  
*Commutation fort courant*

Dissipation derating  
*Variation de dissipation*



V <sub>CEO</sub>	{	60 V	2N 1936
		80 V	2N 1937
I <sub>C</sub>		20 A	
P <sub>tot</sub>		200 W	
R <sub>th(j-c)</sub>		1 °C/W	max
h <sub>21E</sub> (10 A)		7 - 50	

Case TO 63 (CB 70)  
Boîtier



ABSOLUTE RATINGS (LIMITING VALUES)  
VALEURS LIMITES ABSOLUES D'UTILISATION

		2N 1936	2N 1937	
Collector-base voltage <i>Tension collecteur-base</i>	V <sub>CBO</sub>	125	125	V
Collector-emitter voltage <i>Tension collecteur-émetteur</i>	V <sub>CEO</sub>	60	80	V
Emitter-base voltage <i>Tension émetteur-base</i>	V <sub>EBO</sub>	6	6	V
Collector current <i>Courant collecteur</i>	I <sub>C</sub>	20	20	A
Base current <i>Courant base</i>	I <sub>B</sub>	10	10	A
Power dissipation <i>Dissipation de puissance</i>	P <sub>tot</sub>	200	200	W
	T <sub>case</sub> 25 °C			
Storage and junction temperature <i>Température de jonction et de stockage</i>	t <sub>j</sub> T <sub>stg</sub>	200 - 65 + 200	200 - 65 + 200	°C

Junction-case thermal resistance <i>Résistance thermique jonction boîtier</i>	max	R <sub>th(j-c)</sub>	1	1	°C/W
--	-----	----------------------	---	---	------

## STATIC CHARACTERISTICS

## CARACTÉRISTIQUES STATIQUES

 $T_{case} 25^{\circ}C$ 

(Unless otherwise stated)

(Sauf indications contraires)

	Test conditions Conditions de mesure		min	typ	max	
Collector-emitter cut-off current Courant résiduel collecteur-émetteur	$V_{CE} = 50 V$ $I_B = 0$	$I_{CEO}$			15	mA
Collector-emitter cut-off current Courant résiduel collecteur-émetteur	$V_{CE} = 120 V$ $V_{BE} = -1 V$	$I_{CEX}$	2N 1936		10	mA
	$V_{CE} = 60 V$ $V_{BE} = -1 V$ $T_{case} = 150^{\circ}C$				10	
	$V_{CE} = 80 V$ $V_{BE} = -1 V$ $T_{case} = 150^{\circ}C$				10	
Emitter-base cut-off current Courant résiduel émetteur-base	$V_{EB} = 6 V$ $I_C = 0$	$I_{EBO}$			1	mA
Collector-emitter breakdown voltage Tension de claquage collecteur-émetteur	$I_C = 200 mA$ $I_B = 0$	$V_{(BR)CEO}^*$	2N 1936 2N 1937	60 80		V
Static forward current transfer ratio Valeur statique d u rapport de transfert direct du courant	$V_{CE} = 3 V$ $I_C = 1 A$	$h_{21E}^*$		12	75	
	$V_{CE} = 3 V$ $I_C = .10 A$			7	50	
	$V_{CE} = 10 V$ $I_C = 10 A$			10	50	
	$V_{CE} = 10 V$ $I_C = 10 A$ $T_{case} = -55^{\circ}C$			6		
Collector-emitter saturation voltage Tension de saturation collecteur-émetteur	$I_C = 10 A$ $I_B = 1,6 A$	$V_{CEsat}^*$			0,75	V
Base-emitter saturation voltage Tension de saturation base-émetteur	$I_C = 10 A$ $I_B = 1,6 A$	$V_{BEsat}^*$			1,5	V
Base-emitter voltage Tension base-émetteur	$V_{CE} = 3 V$ $I_C = 10 A$	$V_{BE}^*$			1,25	V

\* Pulsed

Impulsions  $t_p = 300 \mu s$   $\delta \leq 2\%$

## DYNAMIC CHARACTERISTICS ( for small signals )

 $T_{case} 25\text{ }^{\circ}\text{C}$ 

( Unless otherwise stated )

## CARACTÉRISTIQUES DYNAMIQUES ( pour petits signaux )

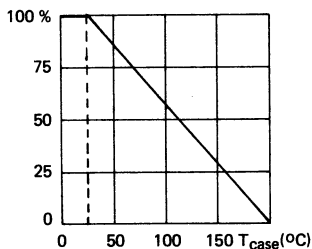
( Sauf indications contraires )

	Test conditions <i>Conditions de mesure</i>		min	typ	max	
Forward current transfer ratio <i>Rapport de transfert direct du courant</i>	$V_{CE} = 10\text{ V}$ $I_C = 1\text{ A}$ $f = 1\text{ kHz}$	$h_{21e}$	15		90	
Transition frequency <i>Fréquence de transition</i>	$V_{CE} = 10\text{ V}$ $I_C = 1\text{ A}$ $f = 1\text{ MHz}$	$f_T$	4			MHz
Output capacitance <i>Capacité de sortie</i>	$V_{CB} = 10\text{ V}$ $I_E = 0$ $f = 1\text{ MHz}$	$C_{22b}$			1800	pF

LF large signal amplification  
*Amplification BF grands signaux*

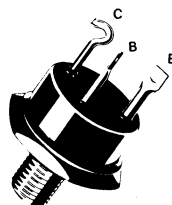
High current switching  
*Commutation fort courant*

Dissipation derating  
*Variation de dissipation*



V <sub>CEO</sub>	80 V	2N 2815
	100 V	2N 2816
	150 V	2N 2817
	200 V	2N 2818
I <sub>C</sub>	20 A	
P <sub>tot</sub>	200 W	
R <sub>th(j-c)</sub>	1 °C/W	max
h <sub>21E</sub> (10 A)	10 - 50	

Case TO 63 (CB 70)  
Boîtier



ABSOLUTE RATINGS (LIMITING VALUES)  
VALEURS LIMITES ABSOLUES D'UTILISATION

		2N 2815	2N 2816	2N 2817	2N 2818	
Collector-base voltage <i>Tension collecteur-base</i>	V <sub>CBO</sub>	80	100	150	200	V
Collector-emitter voltage <i>Tension collecteur-émetteur</i>	V <sub>CEO</sub>	80	100	150	200	V
Emitter-base voltage <i>Tension émetteur-base</i>	V <sub>EBO</sub>	10	10	10	10	V
Collector current <i>Courant collecteur</i>	I <sub>C</sub>	20	20	20	20	A
Base current <i>Courant base</i>	I <sub>B</sub>	10	10	10	10	A
Power dissipation <i>Dissipation de puissance</i>	P <sub>tot</sub>	200	200	200	200	W
T <sub>case</sub> 25 °C						
Storage and junction temperature <i>Température de jonction et de stockage</i>	t <sub>j</sub> T <sub>stg</sub>	200 -65 + 200	200 -65 + 200	200 -65 + 200	200 -65 + 200	°C

Junction-case thermal resistance <i>Résistance thermique jonction-boîtier</i>	max	R <sub>th(j-c)</sub>	1	1	1	1	°C/W
--	-----	----------------------	---	---	---	---	------

STATIC CHARACTERISTICS

CARACTÉRISTIQUES STATIQUES

T<sub>case</sub> 25 °C

( Unless otherwise stated )

( Sauf indications contraires )

	Test conditions Conditions de mesure			min	typ	max	
Collector-emitter cut-off current <i>Courant résiduel collecteur-émetteur</i>	V <sub>CE</sub> = 80 V V <sub>BE</sub> = -1,5 V	ICEX	2N 2815			2	mA
	V <sub>CE</sub> = 80 V V <sub>BE</sub> = -1,5 V T <sub>case</sub> = 150 °C					20	
	V <sub>CE</sub> = 100 V V <sub>BE</sub> = -1,5 V		2N 2816			2	
	V <sub>CE</sub> = 100 V V <sub>BE</sub> = -1,5 V T <sub>case</sub> = 150 °C					20	
	V <sub>CE</sub> = 150 V V <sub>BE</sub> = -1,5 V		2N 2817			2	
	V <sub>CE</sub> = 150 V V <sub>BE</sub> = -1,5 V T <sub>case</sub> = 150 °C					20	
	V <sub>CE</sub> = 200 V V <sub>BE</sub> = -1,5 V		2N 2818			2	
	V <sub>CE</sub> = 200 V V <sub>BE</sub> = -1,5 V T <sub>case</sub> = 150 °C					20	
Emitter-base cut-off current <i>Courant résiduel émetteur-base</i>	V <sub>EB</sub> = 10 V I <sub>C</sub> = 0	IEBO				0,25	mA
Collector-emitter breakdown voltage <i>Tension de claquage collecteur-émetteur</i>	I <sub>C</sub> = 100 mA I <sub>B</sub> = 0	V <sub>(BR)CEO</sub> *	2N 2815 2N 2816 2N 2817 2N 2818	80 100 150 200			V
Static forward current transfer ratio <i>Valeur statique du rapport de transfert direct du courant</i>	V <sub>CE</sub> = 3 V I <sub>C</sub> = 10 A	h <sub>21E</sub> *		10		50	
Collector-emitter saturation voltage <i>Tension de saturation collecteur émetteur</i>	I <sub>C</sub> = 10 A I <sub>B</sub> = 1,5 A	V <sub>CEsat</sub> *				1,5	V
Base-emitter saturation voltage <i>Tension de saturation base-émetteur</i>	I <sub>C</sub> = 10 A I <sub>B</sub> = 1,5 A	V <sub>BEsat</sub> *				2,5	V

\* Pulsed  
Impulsions    t<sub>p</sub> = 300 μs    δ < 2 %

## DYNAMIC CHARACTERISTICS ( for small signals )

 $T_{case} 25\text{ }^{\circ}\text{C}$ 

( Unless otherwise stated )

## CARACTÉRISTIQUES DYNAMIQUES ( pour petits signaux )

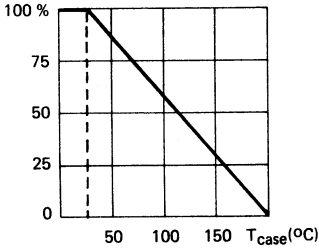
( Sauf indications contraires )

	Test conditions <i>Conditions de mesure</i>			min	typ	max	
Transition frequency <i>Fréquence de transition</i>	$V_{CE} = 3\text{ V}$ $I_C = 15\text{ A}$ $f = 1\text{ MHz}$	$f_T$		0,6			MHz
Turn-on time <i>Temps total d'établissement</i>	$I_C = 10\text{ A}$ $I_B = 1,5\text{ A}$	$t_{on}$				3,5	$\mu\text{s}$
Fall time <i>Temps de décroissance</i>	$I_C = 10\text{ A}$ $I_{B1} = 1,5\text{ A}$ $I_{B2} = -1,5\text{ A}$	$t_f$				6	$\mu\text{s}$
Carrier storage time <i>Retard à la décroissance</i>	$I_C = 10\text{ A}$ $I_{B1} = 1,5\text{ A}$ $I_{B2} = -1,5\text{ A}$	$t_s$				6	$\mu\text{s}$

LF large signal amplification  
*Amplification BF grands signaux*

High current switching  
*Commutation fort courant*

Dissipation derating  
*Variation de dissipation*



V <sub>CEO</sub>	80 V	2N 2819
	100 V	2N 2820
	150 V	2N 2821
	200 V	2N 2822
I <sub>C</sub>	25 A	
P <sub>tot</sub>	200 W	
R <sub>th(j-c)</sub>	1°C/W	max
h <sub>21E</sub> (15 A)	10 - 50	

Case TO 63 (CB 70)  
Boitier



ABSOLUTE RATINGS (LIMITING VALUES)  
VALEURS LIMITES ABSOLUES D'UTILISATION

		2N 2819	2N 2820	2N 2821	2N 2822	
Collector-base voltage <i>Tension collecteur-base</i>	V <sub>CBO</sub>	80	100	150	200	V
Collector-emitter voltage <i>Tension collecteur-émetteur</i>	V <sub>CEO</sub>	80	100	150	200	V
Emitter-base voltage <i>Tension émetteur-base</i>	V <sub>EBO</sub>	10	10	10	10	V
Collector current <i>Courant collecteur</i>	I <sub>C</sub>	25	25	25	25	A
Base current <i>Courant base</i>	I <sub>B</sub>	10	10	10	10	A
Power dissipation <i>Dissipation de puissance</i>	P <sub>tot</sub>	200	200	200	200	W
	T <sub>case</sub> 25 °C					
Storage and junction temperature <i>Température de jonction et de stockage</i>	t <sub>j</sub> T <sub>stg</sub>	200 - 65 + 200	°C			

Junction-case thermal resistance <i>Résistance thermique jonction boitier</i>	max	R <sub>th(j-c)</sub>	1	1	1	1	°C/W
--	-----	----------------------	---	---	---	---	------

**STATIC CHARACTERISTICS**  
**CARACTÉRISTIQUES STATIQUES**

**T<sub>case</sub> 25 °C**

( Unless otherwise stated )  
( Sauf indications contraires )

Test conditions <i>Conditions de mesure</i>		min	typ	max			
Collector-emitter cut-off current <i>Courant résiduel collecteur-émetteur</i>	V <sub>CE</sub> = 80 V V <sub>BE</sub> = -1,5 V	I <sub>CEX</sub>	2N 2823		2	mA	
	V <sub>CE</sub> = 80 V V <sub>BE</sub> = -1,5 V T <sub>case</sub> = 150 °C				20		
	V <sub>CE</sub> = 100 V V <sub>BE</sub> = -1,5 V				2		
	V <sub>CE</sub> = 100 V V <sub>BE</sub> = -1,5 V T <sub>case</sub> = 150 °C			2N 2824			20
	V <sub>CE</sub> = 150 V V <sub>BE</sub> = -1,5 V						2
	V <sub>CE</sub> = 150 V V <sub>BE</sub> = -1,5 V T <sub>case</sub> = 150 °C				2N 2825		
Emitter-base cut-off current <i>Courant résiduel émetteur-base</i>	V <sub>EB</sub> = 10 V I <sub>C</sub> = 0	I <sub>EBO</sub>		0,25	mA		
Collector-emitter breakdown voltage <i>Tension de claquage collecteur-émetteur</i>	I <sub>C</sub> = 100 mA I <sub>B</sub> = 0	V <sub>(BR)CEO</sub> *	2N 2823 2N 2824 2N 2825	80 100 150	V		
Static forward current transfer ratio <i>Valeur statique du rapport de transfert direct du courant</i>	V <sub>CE</sub> = 2 V I <sub>C</sub> = 20 A	h <sub>21E</sub>		10	40		
Collector-emitter saturation voltage <i>Tension de saturation collecteur-émetteur</i>	I <sub>C</sub> = 20 A I <sub>B</sub> = 3 A	V <sub>CEsat</sub> *			1,1	V	
Base-emitter saturation voltage <i>Tension de saturation base-émetteur</i>	I <sub>C</sub> = 20 A I <sub>B</sub> = 3 A	V <sub>BEsat</sub> *			2,1	V	

\* Pulsed  
*Impulsions*    t<sub>p</sub> = 300 μs    δ < 2 %

DYNAMIC CHARACTERISTICS ( for small signals )

( Unless otherwise stated )

CARACTÉRISTIQUES DYNAMIQUES ( pour petits signaux )

 $T_{case} 25^{\circ}C$ 

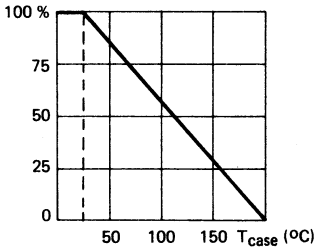
( Sauf indications contraires )

	Test conditions Conditions de mesure		min	typ	max	
Transition frequency <i>Fréquence de transition</i>	$V_{CE} = 3 V$ $I_C = 20 A$ $f = 1 MHz$	$f_T$	0,6			MHz
Turn-on time <i>Temps total d'établissement</i>	$I_C = 20 A$ $I_B = 3 A$	$t_{on}$			3,5	$\mu s$
Fall time <i>Temps de décroissance</i>	$I_C = 20 A$ $I_{B1} = 3 A$ $I_{B2} = -3 A$	$t_f$			6	$\mu s$
Carrier storage time <i>Retard à la décroissance</i>	$I_C = 20 A$ $I_{B1} = 3 A$ $I_{B2} = -3 A$	$t_s$			6	$\mu s$

LF large signal amplification  
*Amplification BF grands signaux*

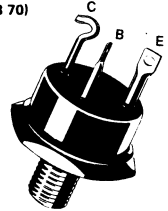
High current switching  
*Commutation fort courant*

Dissipation derating  
*Variation de dissipation*



$V_{CE0}$	}	80 V	2N 2823
		100 V	2N 2824
		150 V	2N 2825
$I_C$		30 A	
$P_{tot}$		200 W	
$R_{th(j-c)}$		1 °C/W	max
$h_{21E}$ (20 A)		10 - 40	

Case TO 63 (CB 70)  
Boitier



ABSOLUTE RATINGS (LIMITING VALUES)  
VALEURS LIMITES ABSOLUES D'UTILISATION

		2N 2823	2N 2824	2N 2825	
Collector-base voltage <i>Tension collecteur-base</i>	$V_{CBO}$	80	100	150	V
Collector-emitter voltage <i>Tension collecteur-émetteur</i>	$V_{CEO}$	80	100	150	V
Emitter-base voltage <i>Tension émetteur-base</i>	$V_{EBO}$	10	10	10	V
Collector current <i>Courant collecteur</i>	$I_C$	30	30	30	A
Base current <i>Courant base</i>	$I_B$	10	10	10	A
Power dissipation <i>Dissipation de puissance</i>	$P_{tot}$	200	200	200	W
$T_{case} 25\text{ °C}$					
Storage and junction temperature <i>Température de jonction et de stockage</i>	$t_j$ $T_{stg}$	200 - 65 + 200	200 - 65 + 200	200 - 65 + 200	°C

Junction-case thermal resistance <i>Résistance thermique jonction boîtier</i>	max	$R_{th(j-c)}$	1	1	1	°C/W
--	-----	---------------	---	---	---	------

**STATIC CHARACTERISTICS**  
**CARACTÉRISTIQUES STATIQUES**

$T_{case} 25\text{ }^{\circ}\text{C}$

( Unless otherwise stated )  
( Sauf indications contraires )

	Test conditions <i>Conditions de mesure</i>		min	typ	max			
Collector-emitter cut-off current <i>Courant résiduel collecteur-émetteur</i>	$V_{CE} = 80\text{ V}$ $V_{BE} = -1,5\text{ V}$	ICEX	2N 2819			2	mA	
	$V_{CE} = 80\text{ V}$ $V_{BE} = -1,5\text{ V}$ $T_{case} = 150\text{ }^{\circ}\text{C}$					20		
	$V_{CE} = 100\text{ V}$ $V_{BE} = -1,5\text{ V}$			2N 2820				2
	$V_{CE} = 100\text{ V}$ $V_{BE} = -1,5\text{ V}$ $T_{case} = 150\text{ }^{\circ}\text{C}$							20
	$V_{CE} = 150\text{ V}$ $V_{BE} = -1,5\text{ V}$			2N 2821				2
	$V_{CE} = 150\text{ V}$ $V_{BE} = -1,5\text{ V}$ $T_{case} = 150\text{ }^{\circ}\text{C}$							20
	$V_{CE} = 200\text{ V}$ $V_{BE} = -1,5\text{ V}$			2N 2822				2
	$V_{CE} = 200\text{ V}$ $V_{BE} = -1,5\text{ V}$ $T_{case} = 150\text{ }^{\circ}\text{C}$							20
Emitter-base cut-off current <i>Courant résiduel émetteur-base</i>	$V_{EB} = 10\text{ V}$ $I_C = 0$	IEBO			0,25	mA		
Collector-emitter breakdown voltage <i>Tension de claquage collecteur-émetteur</i>	$I_C = 100\text{ mA}$ $I_B = 0$	$V_{(BR)CEO}^*$	2N 2819 2N 2820 2N 2821 2N 2822	80 100 150 200		V		
Static forward current transfer ratio <i>Valeur statique du rapport de transfert direct du courant</i>	$V_{CE} = 3\text{ V}$ $I_C = 15\text{ A}$	h <sub>21E</sub>		10	50			
Collector-emitter saturation voltage <i>Tension de saturation collecteur-émetteur</i>	$I_C = 15\text{ A}$ $I_B = 2,2\text{ A}$	$V_{CEsat}^*$			1,5	V		
Base-emitter saturation voltage <i>Tension de saturation base-émetteur</i>	$I_C = 15\text{ A}$ $I_B = 2,2\text{ A}$	$V_{BEsat}^*$			2,5	V		

\* Pulsed  
Impulsions  $t_p = 300\text{ }\mu\text{s}$   $\delta < 2\%$

## DYNAMIC CHARACTERISTICS ( for small signals )

( Unless otherwise stated )

CARACTÉRISTIQUES DYNAMIQUES ( pour petits signaux )

T<sub>case</sub> 25 °C

( Sauf indications contraires )

	Test conditions Conditions de mesure			min	typ	max	
Transition frequency <i>Fréquence de transition</i>	V <sub>CE</sub> = 3 V I <sub>C</sub> = 15 A f = 1 MHz	f <sub>T</sub>		0,6			MHz
Turn-on time <i>Temps total d'établissement</i>	I <sub>C</sub> = 15 A I <sub>B</sub> = 2,2 A	t <sub>on</sub>				3,5	μs
Fall time <i>Temps de décroissance</i>	I <sub>C</sub> = 15 A I <sub>B1</sub> = 2,2 A I <sub>B2</sub> = -2,2 A	t <sub>f</sub>				6	μs
Carrier storage time <i>Retard à la décroissance</i>	I <sub>C</sub> = 15 A I <sub>B1</sub> = 2,2 A I <sub>B2</sub> = -2,2 A	t <sub>s</sub>				6	μs